

بازیابی سیستم قدرت با توجه به قیود ولتاژ و فرکانس به کمک تئوری گراف

حسین سیفی
استاد

علی اخوین
کارشناس ارشد

دانشکده مهندسی برق، دانشگاه تربیت مدرس

چکیده

بازیابی سیستم قدرت مسئله ترکیبی پیچیده‌ای می‌باشد. از این‌رو اکثر ایده‌ها و روش‌های ارائه شده به نحوی سعی در کم کردن تعداد ترکیباتی که باید مورد جستجو واقع شوند، دارند. در این مقاله با استفاده از تئوری گراف (graph theory) روشی برای بازیابی سیستم قدرت ارائه می‌شود که در آن اولاً قیود مهم نظیر ولتاژ و فرکانس لحاظ شده اند و ثانیاً با اولویت بندی خطوط انتقال بر مبنای حد اکثر ظرفیت اکتبو و حداقل ظرفیت خازنی، تعداد ترکیبات مورد جستجو کاهش قابل توجهی می‌یابد. عملکرد روش ارائه شده بر روی شبکه IEEE 14 نیز نشان داده شده است.

Power System Restoration Due to Voltage and Frequency Constraints Using Graph Theory

A. Akhavain
M. Sc. Student

H. Seifi
Professor

Elect. Engineering Department ,
Tarbiat Modaress University

Abstract

Power system restoration is a complicated combinatorial problem. Hence, majority of rendered ideas and methods try to reduce the number of combinations required to be searched. In this paper, using the graph theory, a method has been proposed for power system restoration. In the proposed method, firstly important constraints such as voltage, frequency and transmission lines loading have been considered and secondly, the graph theory based on giving priority to transmission lines in terms of higher voltage level, higher active capacity and lower capacitance, has been utilized in order to reduce number of combinations required to be searched. The proposed method has been tested and proved to be a success on the IEEE 14 bus system and the relevant outcomes have been shown.

Keywords

power system restoration, graph theory, voltage, frequency and transmission lines loading constraints.

کلمات کلیدی

بازیابی سیستم قدرت، تئوری گراف، قیود ولتاژ، فرکانس و بار خطوط انتقال.

مقدمه

هر چند امروزه اکثر سیستم‌های قدرت از نظر قابلیت اطمینان (reliability) در سطح بالایی قرار دارند، باز هم این امکان وجود دارد که خطأ یا افتاششی جزئی یا شدید در سیستم روی دهد. این خطأ یا افتاشش به ویژه در صورت شدید بودن می‌تواند باعث بروز خاموشی وسیع در سیستم قدرت شود. علاوه بر حوادث طبیعی، زیر بار سنگین بودن خطوط انتقال و تغییر ساختار بارهای صنعتی نیز احتمال بروز وقفه‌های وسیع را بالا می‌برد [۱ و ۲].

بعد از بروز خاموشی باید سیستم قدرت را به حالت نرمال (normal state) برگرداند. بازیابی سیستم قدرت عبارتست از مجموعه اعمالی که با توجه به قیود و محدودیت‌های اجزای سیستم برای بازگرداندن سیستم قدرت به حالت نرمال، در حداقل زمان ممکن و با حداقل محدودیت برای مصرف کننده‌ها، انجام می‌شود. هدف کلی در خلال بازیابی سیستم قدرت بازگشت سرویس دهی به حداقل ۹۰ تا ۷۵ درصد بارهای از مدار خارج شده در حداقل زمان و با حداقل تعداد اعمال می‌باشد [۳]. معمولاً عملیات بازیابی سیستم قدرت بین یک تا هفت ساعت و در شرایط حاد ممکن است تا بیش از یک روز به طول انجامد [۴].

بسیه به سطح ولتاژ مسائله بازیابی به دو دسته انتقال - فوق توزیع و توزیع تقسیم‌بندی می‌شود. بازیابی در سیستم انتقال مفهوم وسیعتری از بازیابی‌های متناول در سیستم‌های توزیع دارد، چرا که در برگیرنده واحدهای تولید انرژی و شبکه‌های انتقال نیز می‌باشد [۲ و ۴]. در این مقاله به بازیابی در سیستم‌های توزیع نمی‌پردازیم.

به بیان ریاضی، به طور کلی مسائله بازیابی یک مسائله بهینه سازی، چند منظوره (multi objective)، چند مرحله‌ای، ترکیبی (combinatorial)، غیر خطی و دینامیکی می‌باشد. با توجه به پیچیدگی بسیار زیاد این مسائله و تعدد تجهیزات درگیر با آن در سیستم، اکثر روش‌ها و نرم‌افزارهای موجود بر مبنای صورت ساده‌تری از این مسائله تنظیم می‌شوند. یکی از راههای مؤثر برای تهیه برنامه‌های بازیابی

کاهش تعداد ترکیباتی است که باید مورد جستجو واقع شوند. تجربه و مهارت اپراتورهای سیستم قدرت نقش مهمی در کاهش تعداد این ترکیبات دارد. چرا که اپراتورها اجزای سیستم و رفتار آنها و اعمال کنترلی مؤثر و حیاتی را تا حد زیادی می‌شناسند. این تجربه و مهارت به دو صورت برای کاهش تعداد ترکیبات و پیچیدگی مسائله بازیابی به کار گرفته شده است، که به ترتیب تحت عنوان بازیابی با مشارکت کامپیوتر و بازیابی به وسیله سیستم خبره (expert system) شناخته می‌شوند.

در بازیابی با مشارکت کامپیوتر اپراتور بر مبنای تجربه و شناخت خود از سیستم قدرت، فضای جستجو را محدود می‌کند و کامپیوتر در این فضا رویه بازیابی مناسب را می‌یابد [۵-۷]. معاایب این روش از محدودیت‌های ذهنی یک اپراتور ناشی می‌شوند. در بازیابی به وسیله سیستم خبره، دانش و تجربه اپراتورها به صورت واقعیت‌ها (facts) و قواعد (rules) در پایگاه دانش (knowledge base) یک سیستم خبره، دانش (knowledge base) یک سیستم خبره، بکار گرفته می‌شوند [۸-۱۰]. مشکل این روش حساس بودن سیستم خبره به نحوه تبدیل دانش اپراتور به واقعیت‌ها و قواعد، حفظ سازگاری پایگاه دانش در صورت نیاز به تغییر و اصلاح تعدادی از قواعد و مواردی از این قبیل می‌باشد.

باتوجه به این مشکلات، بازیابی سیستم قدرت بیشتر به صورت تجربی و بر مبنای سعی و خطأ انجام گرفته است تا بر مبنای اصول ریاضی. استفاده از اصول و روش‌های ریاضی کارایی و ضریب اطمینان رویه‌های بازیابی را بالا می‌برد. در این مقاله سعی شده که از اصول و روش‌های ریاضی در بازیابی سیستم قدرت کمک گرفته شود. بدین منظور از تئوری گراف استفاده شده است. از مزایای الگوریتم‌های موجود در تئوری گراف می‌توان به کارآمد و مطمئن بودن آنها اشاره کرد. به طوری که بدون فدا کردن قیود مهم سیستم می‌توان کار بازیابی سیستم قدرت را با استفاده از آنها تسهیل نمود.

قبل از بیان روش پیشنهادی و مزایای آن، در قسمت‌های دوم و سوم این مقاله نکات عمومی مربوط به بازیابی سیستم قدرت ذکر می‌شوند. نکات این دو قسمت امکان ارزیابی بهتر روش بازیابی پیشنهادی را فراهم می‌آورند.

۱- نکات و قیود مهم در بازیابی سیستم قدرت

در نظر گرفتن مدل هایی که بتوانند رفتار بار در نقاط مختلف سیستم در خلال بازیابی را منعکس کنند، مهم است. نکته دیگری که باید به آن توجه داشت اولویت بارها چه از دیدگاه مصرف کننده و چه از دیدگاه رویه بازیابی است.

۵- اثر سوئیچینگ بر سیستم: بخش عمدۀ ای از مشکلاتی که در هنگام بازیابی بروز می کنند از عدم موفقیت در سوئیچینگ ناشی می شوند. به عنوان مثال بستن یک کلید قدرت هنگامی که اختلاف فاز زیادی در دوسر آن موجود باشد می تواند به سیستم شوک وارد کرده، باعث بروز خاموشی مجدد شود.

۶- پایداری سیستم قدرت: در خلال بازیابی باید به حفظ پایداری سیگنال کوچک و گذرا توجه نمود.

۷- عملکرد تجهیزات حفاظتی و کنترلی: ممکن است کنترل دستی یا غیرفعال کردن بعضی از این تجهیزات در هنگام اجرای بازیابی ضروری شود.

۸- محدود بودن اطلاعات در شرایط اضطراری: ممکن است تجهیزات مخابراتی و نظارت (monitoring) درست عمل ننمایند و از اینرو اطلاعات مورد نیاز فراهم نشود.

۹- وجود آلارم های (alarms): بیش از حد در ابتدای حالت بازیابی: در صورت بروز خاموشی های وسیع تعداد آلارم های ارسالی به مراکز کنترل بسیار زیاد می شود و این تعداد زیاد می تواند سیستم پردازش آنها را با مشکل مواجه کند.

۱۰- کمک گرفتن از خطوط ارتباطی با سیستم های مجاور (tie lines): هر چند کمک گرفتن از این خطوط به ویژه در مراحل اولیه بازیابی می تواند بازیابی را تسهیل نماید، اما اغلب شرکت های برق در آغاز بازیابی تغایلی به استفاده از خطوط ارتباطی با سیستم های مجاور ندارند چرا که خاموشی های وسیع می تواند بر هر دو سیستم اثر نامطلوب بگذارد. این که در تهیه برنامه های بازیابی چه تعدادی از این نکات و قیود و با چه دقتی لحاظ شوند به هدف مطالعات، میزان استفاده از تجربه اپراتورهای سیستم قدرت و امکانات نرم افزاری و سخت افزاری موجود بستگی دارد. نکات و قیود در نظر گرفته شده در روش بازیابی پیشنهادی در قسمت چهارم این مقاله ذکر شده اند.

ارائه رویه بازیابی سیستم قدرت مستلزم درنظر گرفتن نکات و قیود متنوعی است که عدم توجه به آنها می تواند منجر به بروز مشکل و طولانی شدن اجرای رویه بازیابی گردد. اهم این نکات و قیود عبارتند از [۱۸]:

۱- توازن توان اکتیو و قید فرکانس: در خلال بازیابی لازم است توازن معقولی بین تولید و منصرف اکتیو حفظ شود تا فرکانس بیش از حد کاهش یا افزایش نیابد. بدین منظور معمولاً هنگام افت فرکانس، تولید اکتیو بیشتری وارد مدار می کنند و در هنگام بالا بودن فرکانس مقدار مناسبی از بار که باعث افت فرکانس بیش از نیم هرتز نگردد را برق دار می نمایند. نکته مهم دیگر انتخاب روش مناسب کنترل اضافه بار خطوط انتقال در خلال بازیابی است.

۲- توازن توان راکتیو و قید ولتاژ: در مراحل اولیه بازیابی که هنوز تعداد زیادی از بارها خارج از مدار هستند، به مدار برگشتن خطوط انتقال و کابل ها به ویژه اگر فشار قوی باشند، می توانند باعث بروز اضافه ولتاژ های ماندگار (sustained power frequency overvoltages) شود. به علاوه امکان بروز اضافه ولتاژ های ناشی از سوئیچینگ و تشدید هارمونیکی نیز در خلال بازیابی وجود دارد که می تواند اثر اضافه ولتاژ های ماندگار را تقویت کند. از اینرو توصیه می شود ولتاژ ماندگار در خلال بازیابی در محدوده $0.9 / 1.2$ پریونیت باقی بماند.

۳- محدودیت های نیروگاهها: نیروگاههای آبی و گازی را می توان سریعاً راه اندازی نمود اما راه اندازی سایر نیروگاههای حرارتی و به ویژه نیروگاههای اتمی به مدت زمان زیادی نیاز دارد. به علاوه باید به زمان های راه اندازی سرد و گرم، نرخ مجاز زیر بار بردن، هماهنگی بین زمان وارد مدار شدن نیروگاهها و بارها و قیود متنوع دیگری از این قبیل توجه نمود.

۴- مشخصات بارهای سیستم و اولویت آنها: داشتن برآورده ای از مقدار بار برای شین هایی که قرار است بارهای آنها بازیابی شوند، نقش مهمی در موفقیت اعمال بازیابی دارد. بعد از مدتی خاموشی، بازی که باید به مدار برگردد می تواند بیش از بار قبل از بروز وقفه باشد (cold load pick up). از این روش

۲- روش‌های بازیابی سری و موازی

برای لحاظ کردن نکته الف به هر خط انتقال از سیستم وزنی اختصاص می‌دهیم (گراف وزن دار). این وزن را به صورت حاصلضرب سوسمپتانس خط در عکس ماکزیم ظرفیت خط یا B/S_{\max} در نظر می‌گیریم. در اولویت بودن مسیرهایی که بیشترین ظرفیت اکتیو و کمترین ظرفیت خازنی را داشته باشند، معادل است با در اولویت بودن خطوط انتقالی که کمترین وزن یا کمترین B/S_{\max} را دارند. بنابراین یافتن مسیرهای مناسب برای تعذیه شین‌های بی برق شده به یافتن خطوط انتقال با کمترین وزن برای این شین‌ها، تبدیل می‌شود. از طرفی تعداد خطوط واقع در یک مسیر باید حداقل باشند (حداقل اعمال کنترلی). لذا باید درخت مولد مینیمم (minimum spanning tree) یا درخت مولد با حداقل وزن را برای گرافی که از سیستم قدرت مورد مطالعه تشکیل می‌شود، پیابیم. این درخت را با استفاده از خطوط انتقالی که در مدار هستند یا امکان برگشت آنها به مدار وجود دارد، با استفاده از الگوریتم پرایم (Prim) بدست می‌آوریم [۱۹ و ۲۰]. بدین ترتیب اولاً نکته الف لحاظ می‌شود و ثانیاً تعداد ترکیبات مورد جستجو محدود می‌گردد. اما در الگوریتم پرایم نمی‌توان نکته ب فوق را لحاظ نمود. برای حل این مشکل از الگوریتم BFS (breadth first search) استفاده می‌کنیم [۱۹ و ۲۰]. بدین ترتیب که الگوریتم BFS مسیرهای تعذیه در جهت مناسب را از بین شاخه‌های درخت مولد مینیمم (که قبل از الگوریتم پرایم یافت شده‌اند) پیشنهاد کند.

نکته دیگری که باید به آن توجه نمود تفاوت زیاد وزن خطوط انتقال متعلق به سطوح ولتاژ مختلف است. با توجه به این تفاوت و با توجه به نکته ب، لازم است ابتدا سیستم قدرت بر مبنای سطوح یا کلاس‌های ولتاژ تقسیم بندی و سپس دو الگوریتم مذکور به هر سطح ولتاژ اعمال شوند. با توجه به مطالعه فوق روش بازیابی پیشنهادی را «بازیابی از طریق خطوط با حداقل B/S_{\max} » با توجه به قید فرکانس» می‌نامیم. سایر نکات و فلوچارت این روش در قسمت بعد ذکر می‌شوند.

۳- فلوچارت روش بازیابی پیشنهادی

مفروضات و نکاتی که تهیه فلوچارت بازیابی از طریق خطوط با حداقل B/S_{\max} با توجه به قید فرکانس براساس آنها انجام گرفته است، به شرح زیر می‌باشند:

دو روش متداول بازیابی اجزای سیستم قدرت عبارتند از رویه سری (یا build down) و رویه موازی (یا build up) [۱ و ۲]. در رویه سری ابتدا شبکه انتقال اصلی به مدار بر می‌گردد و سپس بازیابی مرحله به مرحله با وارد مدار کردن نیروگاهها و بارها ادامه می‌یابد. به علت مشکل توان راکتیو اضافی در مراحل اولیه بازیابی، استفاده از این روش به سیستم‌های قدرت کوچک که خطوط انتقال فشار قوی طویل ندارند و سیستم‌های قدرت با توانایی جذب توان راکتیو به میزان زیاد محدود شده است. در روش موازی (که بیشتر بکار می‌رود) ابتدا سیستم به چند زیر سیستم تقسیم و سپس بازیابی به طور موازی در این زیرسیستم‌ها انجام می‌شود. در نهایت این زیرسیستم‌ها با هم سنتکرون می‌گردند. انتخاب مرزهای زیرسیستم‌ها با توجه به نکات و قیود مربوطه انجام می‌شود [۱۲ و ۱۶]. البته بازیابی در هر زیر سیستم را می‌توان از نوع سری در نظر گرفت. به عبارت دیگر بازیابی موازی، چند بازیابی سری است که به موازات هم انجام می‌شوند.

اگر اقدامات مناسبی برای کنترل توان راکتیو اضافی در مراحل اولیه بازیابی صورت گیرد، روش بازیابی سری از روش بازیابی موازی ساده‌تر و سریع‌تر خواهد بود. در روش بازیابی پیشنهادی سعی شده که این اقدامات تا حد امکان لحاظ شوند، لذا نحوه بازیابی المان‌های سیستم در روش پیشنهادی، حالت سری دارد.

۳- روش بازیابی پیشنهادی

۳-۱- استفاده از تئوری گراف در بازیابی سیستم قدرت از نظر ساختار، تشابه کاملی بین یک سیستم قدرت و یک گراف وجود دارد. بسیاری از مسائل سیستم قدرت و از جمله بازیابی آن را می‌توان نوعی مسئله بهینه‌سازی در نظر گرفت. در تئوری گراف الگوریتم‌های بهینه‌سازی قدرتمندی وجود دارد که رسیدن به جواب بهینه را تضمین می‌نمایند. لذا می‌توان در بازیابی سیستم قدرت از این الگوریتم‌ها استفاده نمود.

برای لحاظ کردن دو نکته مهم زیر در ارائه رویه بازیابی، از تئوری گراف کمک می‌گیریم:

الف - اولویت با مسیرهایی است که بیشترین ظرفیت اکتیو و کمترین ظرفیت خازنی را داشته باشند.

ب - باید انرژی دار کردن المان‌ها از طرف فشار قوی به طرف فشار ضعیف انجام شود.

متوسط برابر $2/5$)،
 K_{pfi} : شبیه فرکانس برای توان اکتیو بار نام (به طور متوسط برابر $1/4$)،
 K_{qfi} : شبیه فرکانس برای توان راکتیو بار نام (به طور متوسط برابر -1)،

۲ - بررسی و اعمال هماهنگی زمانی بین ورود نیروگاهها و بارها به سیستم قدرت مستلزم در نظر گرفتن متغیر زمان در طول بازیابی است. چون متغیر زمان در پخش بار دینامیکی ظاهر نمی شود، لذا فرض می کنیم نیروگاهها یا شین های PV در مسائل مورد مطالعه از مدار خارج نمی شوند.

۳ - دو نکته مهم زیر با استفاده از تئوری گراف در فلوچارت بازیابی لحاظ شده اند:

الف - اولویت با مسیرهایی است که بیشترین ظرفیت اکتیو و کمترین ظرفیت خازنی را داشته باشند،

ب - باید انرژی دار کردن المان ها از طرف فشار قوی به طرف فشار ضعیف انجام شود.

۴ - برای تضمین وجود تولید اکتیو کافی و جلوگیری از بروز خاموشی مجدد، قبل از ورود هر بار تولید اکتیو را تا حدی افزایش می دهیم که فرکانس سیستم به حدود $f_b + \Delta f_{\max}$ برسد. بدین منظور ابتدا ضریب تنظیم سرعت معادل برای کلیه واحدهای تولید سیستم قدرت یا R را می یابیم و سپس از رابطه زیر مقدار تغییر لازم در تولید اکتیو کل را برای دستیابی به $f_b + \Delta f_{\max}$ بدست می آوریم:

$$\Delta PG_e = \frac{(f_b + \Delta f_{\max}) - (f_b + \Delta f_{\text{old}})}{R_e} = \frac{\Delta f_{\max} - \Delta f_{\text{old}}}{R_e} \quad (5)$$

که در این رابطه:

Δf_{\max} : حداکثر انحراف فرکانس سیستم [Hz]
 Δf_{old} : انحراف فرکانس قبل از ورود بار جدید به مدار [Hz]

R_e : تنظیم سرعت معادل برای کل سیستم [Hz/pu Mw]
 ΔPG_e : کل تغییر تولید اکتیو سیستم [pu MW].
 مقدار بدست آمده برای ΔPG_e بر حسب ظرفیت بین واحدهای تولید تقسیم می شود. البته بدیهی است که فرکانس سیستم قبل از ورود بار نباید تا حدی بالا برده شود که در صورت خروج ناخواسته یک بار اضافه فرکانس روی دهد. بدین منظور باید حداکثر انحراف

۱ - از پخش بار دینامیکی یا پخش بار باتوجه به فرکانس به عنوان ابزار تحلیلی (analytical tool) برای ارزیابی اعمال بازیابی استفاده می کنیم [۲۱] .
 مدل بکار رفته برای خطوط انتقال و ترانسفورمرها نظیر پخش بار معمولی می باشد. مدل استاتیکی گاورنر واحدهای تولید به صورت زیر در نظر گرفته می شود [۲۱ و ۲۲]:

$$PG_i = PG_i^{\text{spec}} - (100 / f_b) \times (SG_i / R_i) \Delta f \quad (1)$$

$$PG_i^{\min} \leq PG_i \leq PG_i^{\max} \quad (2)$$

که در این روابط:

PG_i^{spec} : خروجی تعیین شده برای واحد تولید نام [pu]

SG_i : ظرفیت واحد تولید نام [pu]

R_i : تنظیم سرعت گاورنر بر حسب درصد

Δf : انحراف فرکانس سیستم بر حسب هرتز که به صورت $\Delta f = f - f_b$ تعریف می شود،

f_b : فرکانس پایه سیستم [Hz]

PG_i : توان اکتیو خروجی از واحد تولید نام [pu]

PG_i^{\max}, PG_i^{\min} : حدود پایین و بالای توان اکتیو واحد تولید نام [pu].

مدل استاتیکی بار به صورت روابط زیر تابعی از ولتاژ شین و فرکانس سیستم است [۲۳]:

$$PD_i = PD_{oi} \left(1 + K_{\text{pfi}} \frac{\Delta f}{f_b}\right) \left(V_i / V_{oi}\right)^{K_{\text{pvi}}} \quad (3)$$

$$QD_i = QD_{oi} \left(1 + K_{\text{qfi}} \frac{\Delta f}{f_b}\right) \left(V_i / V_{oi}\right)^{K_{\text{qvi}}} \quad (4)$$

این روابط برای بارهای مركب مشتمل بر بارهای مسکونی، تجاری و صنعتی در محدوده $1/2 < V_i < 4/3$ معتبرند و پارامترهای به کار رفته در آنها به شرح زیر می باشند:

V_{oi} : ولتاژ نامی شین i در حالت نرمال [pu]

QD_{oi}, PD_{oi} : توانهای اکتیو و راکتیو بار i ام هنگامی که ولتاژ شین i برابر V_{oi} است [pu]

V_i : ولتاژ شین i [pu]

K_{pvi} : شبیه ولتاژ برای توان اکتیو بار i ام (به طور متوسط برابر $1/2$)،

K_{qvi} : شبیه ولتاژ برای توان راکتیو بار i ام (به طور

$$\Delta f_{\min} \leq \Delta f \leq \Delta f_{\max} \quad (10)$$

برای اجرای این فلوچارت یک برنامه کامپیوتی با استفاده از نرم افزار MATLAB نسخه ۱/۵ تهیه شده است.

ع - مطالعات نمونه

روش بازیابی از طریق خطوط با حداقل B/S_{\max} IEEE [۲۴ و ۲۵] آزمایش شده است (شکل ۲). این سیستم دارای دو سطح ولتاژ می باشد. خطوط انتقال و ترانسفورمرهای این سیستم که بر مبنای سطح ولتاژ و وزن خود (بعد از مقیاس بندی مناسب برای وزن) مرتب گردیده اند، در جدول ۱ نشان داده شده اند (هنگام تعیین وزن برای خطوطی که B آنها ناچیز است، B را برابر $B_{\min} / 100$ در نظر می گیریم). شاخه های درخت مولد مشخص شده اند.

برای مشاهده نحوه عملکرد برنامه فرض می کنیم شین های ۱۰، ۱۳، ۱۲، ۱ و ۱۴، بارهای ۶، ۱۰، ۱۲، ۱۳، ۱۴، و خط های ۱-۵، ۲-۵، ۲-۱۲، ۶-۱۳، ۶-۱۰، ۹-۱۰، ۹-۱۴، ۱۰-۱۱، ۱۰-۱۲، ۱۲-۱۳ و ۱۳-۱۴ از مدار خارج شوند. اولویت بارها را به ترتیب بزرگتر به کوچکتر یعنی به ترتیب ۱۴، ۱۳، ۱۲، ۱۰ و ۶ در نظر می گیریم. با فرض ضریب تنظیم ۴ درصد برای هر یک از ژنراتورهای سیستم، مقدار $Re = 8857 / 68457$ هرتز بر پریونیت و از رابطه (۶) مقدار Δf_{\max} در حدود $4 / 0$ هرتز بدست می آید. جدول ۲ رویه بازیابی پیشنهادی توسط برنامه را نشان می دهد. برنامه ابتدا شین های بدون برق را از طریق شاخه های درخت مولد مینیمیم برق را از سپس لیست اولویت خطوط تشکیل می شود. در این مدار انتخاب می شوند شین ها وارد مدار می گردند. سپس لیست اولویت خطوط اولآ بر مبنای سطح ولتاژ بالاتر و ثانیاً لیست، خطوط اولآ بر مبنای B/S_{\max} کمتر مرتب می گردند. در مرحله بعدی بارها بر مبنای اولویت خود وارد مدار می شوند. اگر ورود یک بار باعث نقض قیدی نشود، بار بعدی وارد مدار می گردد. در غیر این صورت از لیست اولویت خطوط آنقدر خط وارد مدار می شود تا بتوان بار مورد نظر را به مدار برگرداند.

هرچند وزن خط های ۲-۵ و ۱-۵ از سه خط آخر لیست بیشتر است، اما چون این دو خط در سطح ولتاژ بالاتری قرار دارند در ابتدای لیست قرار می گیرند. هنگام تلاش برای ورود بار ۱۴، برنامه با اضافه بار خط ۲-۴ مواجه می شود. از این رو قبل از بار ۱۴، خط ۲-۵ را وارد مدار می کند. بعد از این روز دار شدن خط ۲-۵ می توان بار ۱۴ را وارد مدار نمود. سپس بارهای ۱۳،

فرکانس مجاز را کمتر از $5 / 0$ هرتز و به عنوان یک پیشنهاد برابر مقدار زیر در نظر گرفت:

$$(\text{اندازه بزرگترین باری که باید بازیابی شود}) - \Delta f_{\max} = 0.5 \quad (6)$$

$$\left(\frac{1}{R_e} + D_e \right) \quad (6)$$

در صورتی که از این رابطه مقدار مناسبی به دست نیاید (به فرض Δf_{\max} به اندازه ای کوچک شود که نتوان از تولید اکتیو قابل حصول به اندازه کافی استفاده کرد)، می توان اصلاح زیر را در آن لحاظ نمود:

$$(\text{احتمال خروج بار از مدار} \times \text{اندازه باری که باید بازیابی شود}) - \Delta f_{\max} = 0.5 \quad (7)$$

$$\left(\frac{1}{R_e} + D_e \right) \quad (7)$$

ثابت میراثی بار (load damping constant) معادل برای سیستم یا D_e در مقابل $R_e / 1$ قابل صرفنظر کردن است.

حداقل انحراف فرکانس سیستم یا Δf_{\min} را برابر $4 / 0$ هرتز در نظر می گیریم.

فلوچارت بازیابی مبتنی بر این مفروضات در شکل ۱ نشان داده شده است. بعد از ورود اطلاعات مورد نیاز در صورت خارج از مدار بودن تعدادی از شین ها، درخت مولد با حداقل وزن برای هر سطح ولتاژ یافت می شود و از طریق شاخه های آن (که از بین خطوط قابل برگشت به مدار انتخاب می شوند) شین ها وارد مدار می گردند. سپس لیست اولویت خطوط تشکیل می شود. در این لیست، خطوط اولآ بر مبنای سطح ولتاژ بالاتر و ثانیاً بر مبنای B/S_{\max} کمتر مرتب می گردند. در مرحله بعدی بارها بر مبنای اولویت خود وارد مدار می شوند. اگر ورود یک بار باعث نقض قیدی نشود، بار بعدی وارد مدار می گردد. در غیر این صورت از لیست اولویت خطوط آنقدر خط وارد مدار می شود تا بتوان بار مورد نظر را به مدار برگرداند.

قیود در این فلوچارت عبارتند از:

$$\text{برای هر شین } i \quad 0 / 9 \leq V_i \leq 1 / 1 \quad [pu] \quad (8)$$

$$S_{ik} \leq S_{ik}^{\max} \quad \text{برای هر خط انتقال } ik \quad (9)$$

۵- نتیجه‌گیری و پیشنهادات

- روش بازیابی ارائه شده دارای مزایای زیر است:
- رعایت دو نکته مهم یعنی در اولویت بودن خطوط انتقال او لآ با سطح ولتاژ بالاتر و ثانیاً با ظرفیت اکثیر بیشتر و ظرفیت خازنی کمتر،
 - کاهش قابل توجه تعداد ترکیباتی که باید برای ارائه رویه بازیابی مورد جستجو واقع شوند، چرا که خطوط بر مبنای سه پارامتر فوق اولویت بندی می‌گردند،
 - کاهش تعداد اعمال بازیابی و جلوگیری از تشکیل حلقه‌های بی مورد درسیستم. چرا که بازیابی شین‌ها از طریق شاخه‌های درخت مواد مینیمم انجام می‌شود،
 - می‌توان با انجام تغییرات جزئی از این برنامه درسیستم‌های توزیع نیز استفاده نمود،
 - قابلیت‌های بیشتری نیز می‌توان به برنامه افزود از جمله:
 - کنترل بعضی متغیرها نظیر ولتاژ شین‌های PV و موقعیت تپ (Tap) ترانسفورمرهای TCUL در خلال بازیابی،
 - لحاظ کردن خارج و وارد مدار شدن نیروگاهها به کمک نرم افزارهای شبیه‌سازی دینامیکی.
 - مؤلفین مقاله، کار افزودن این قابلیت‌ها را در دست انجام دارند.

۱۰ و ۱۲ وارد مدار می‌شوند. ورود بار ششم باعث بروز اضافه بار در خط‌های ۱-۲ و ۲-۵ می‌گردد. این مشکل با ورود خط ۱-۵ قبل از ورود بار ۶ برطرف می‌شود. در نهایت بقیه خطوط لیست وارد مدار می‌گردند.

قبل از ورود هر بار، تولید ژنراتورها در حدی بالا بردۀ می‌شود که فرکانس سیستم به حدود 40.4 Hz + fb هرتز برسد. شکل ۳ تغییرات فرکانس در خلال بازیابی از یک حالت ماندگار به حالت ماندگار بعدی را نشان می‌دهد. در طول فرآیند بازیابی ولتاژ از 14.051 V پریونیت فراتر نمی‌رود و از 0.9728 A پریونیت کمتر نمی‌شود.

برنامه برای ارائه جدول ۲، ۲۲ پخش بار انجام می‌دهد. مدت زمان ارائه پاسخ توسط برنامه بر روی PC با پردازنده پنتیوم ۱۲۳ و ۲۲ مکابایت RAM کمتر از ۲ دقیقه می‌باشد.

حال فرض کنید در همین نمونه مورد مطالعه خط‌های ۹-۱۰ و ۹-۱۴ دچار صدمه شده باشد به طوری که نتوان در بازیابی از آنها استفاده نمود. در این صورت برنامه درخت مولد مینیمم دیگری برای سطح ولتاژ دوم می‌یابد و رویه بازیابی جدیدی مطابق جدول ۳ پیشنهاد می‌کند.

جدول (۱) اولویت بندی خطوط انتقال و ترانسفورمرهای سیستم قدرت شکل ۲ بر مبنای او لآ سطح ولتاژ بیشتر و ثانیاً B/S_{max} کمتر.

Voltage Class No. 1

Line Name	$1000^*B/S_{max}$
> 4-5	12.80
> 1-2	26.40
> 2-4	37.40
> 2-3	43.80
2-5	45.33
1-5	49.20
3-4	69.20

Voltage Class No. 2

Line Name	$1000^*B/S_{max}$
> 5-6	0.13
> 4-7	0.17
> 7-9	0.21
> 6-13	0.26
> 7-8	0.26
4-9	0.26
> 9-10	0.43
> 9-14	0.43
> 6-11	0.51
> 6-12	0.51
13-14	0.51
10-11	0.64
12-13	0.85

جدول (۲) روش بازیابی پیشنهادی برای مطالعه نمونه اول.

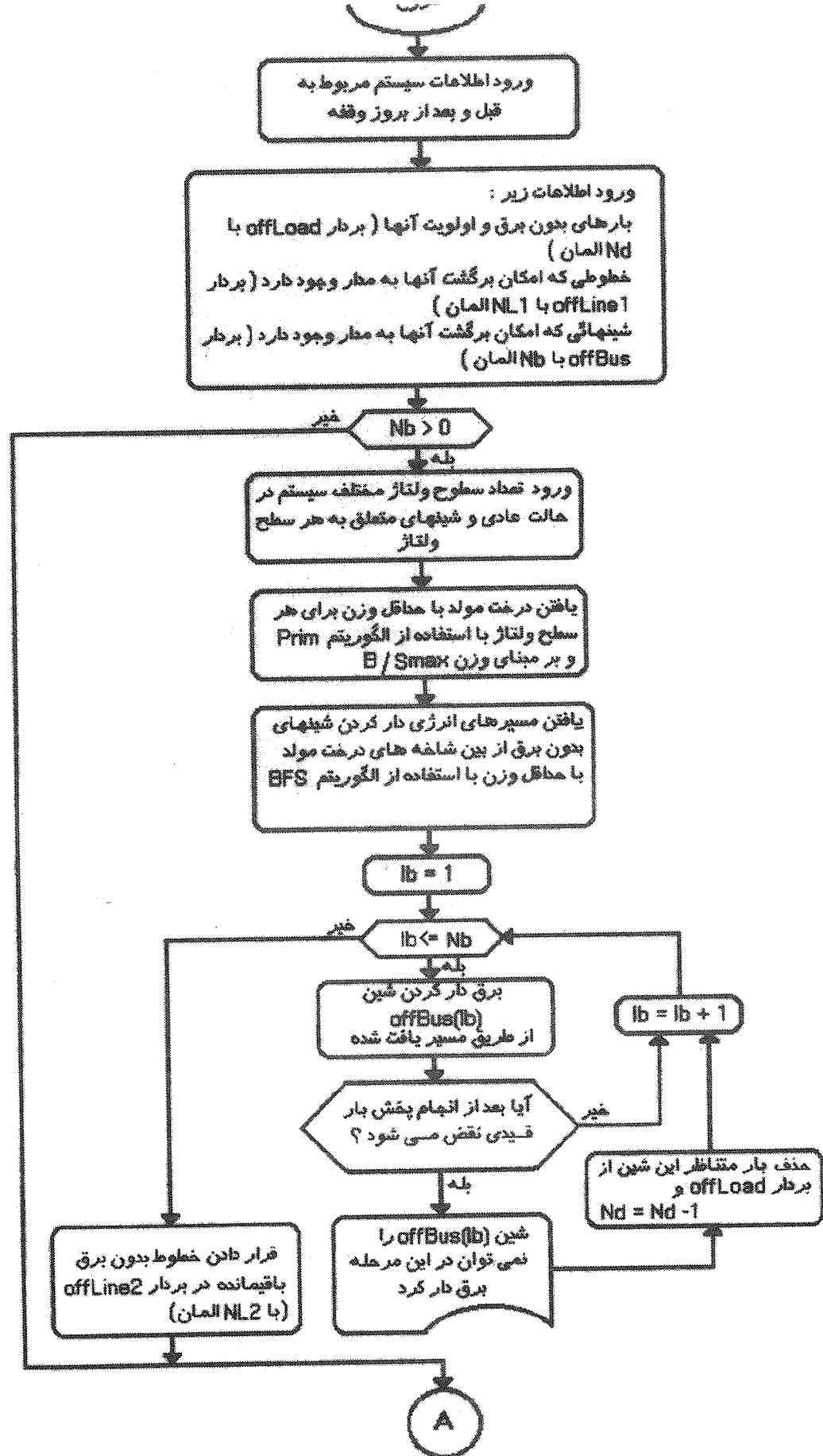
Recommended restoration steps :

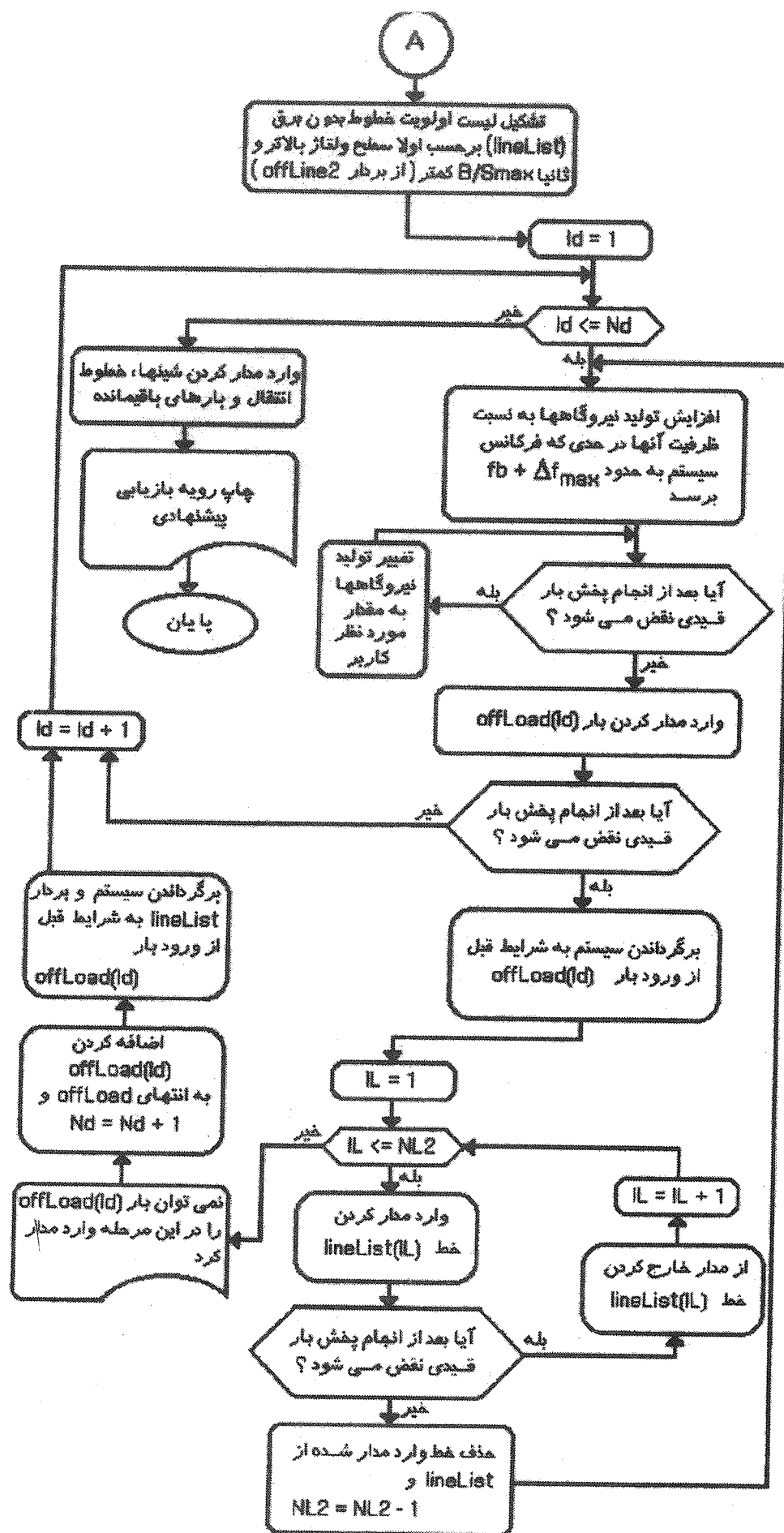
```
Step [ 1] : Energizing Line No. { 9-10 } & Bus No. (10)
Step [ 2] : Energizing Line No. { 6-12 } & Bus No. (12)
Step [ 3] : Energizing Line No. { 6-13 } & Bus No. (13)
Step [ 4] : Energizing Line No. { 9-14 } & Bus No. (14)
Step [ 5] : Energizing Line No. { 2-5 }
Step [ 6] : DPG(1)=41.0   DPG(2)=16.4   [MW]
Step [ 7] : Energizing Load No. {      14}
Step [ 8] : DPG(1)=12.5   DPG(2)=5.0    [MW]
Step [ 9] : Energizing Load No. {      13}
Step [10] : DPG(1)=10.5   DPG(2)=4.2    [MW]
Step [11] : Energizing Load No. {      10}
Step [12] : DPG(1)=5.9    DPG(2)=2.4    [MW]
Step [13] : Energizing Load No. {      12}
Step [14] : Energizing Line No. { 1-5 }
Step [15] : DPG(1)=3.2    DPG(2)=1.3    [MW]
Step [16] : Energizing Load No. {      6}
Step [17] : Energizing Line No. { 13-14 }
Step [18] : Energizing Line No. { 10-11 }
Step [19] : Energizing Line No. { 12-13 }
```

جدول (۳) روش بازیابی پیشنهادی برای مطالعه نمونه دوم.

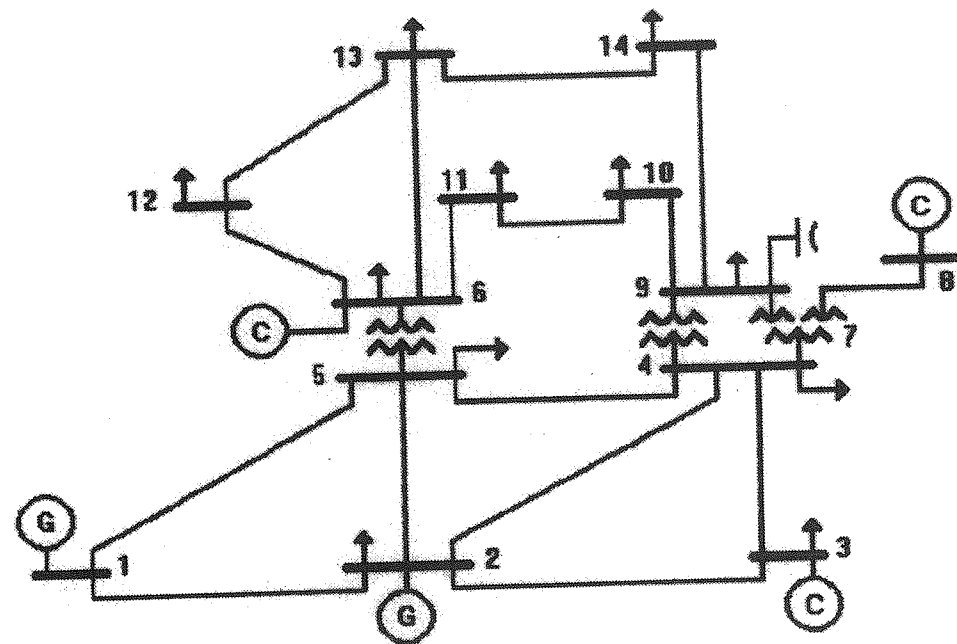
Recommended restoration steps :

```
Step [ 1] : Energizing Line No. { 10-11 } & Bus No. (10)
Step [ 2] : Energizing Line No. { 6-12 } & Bus No. (12)
Step [ 3] : Energizing Line No. { 6-13 } & Bus No. (13)
Step [ 4] : Energizing Line No. { 13-14 } & Bus No. (14)
Step [ 5] : Energizing Line No. { 2-5 }
Step [ 6] : DPG(1)=41.0   DPG(2)=16.4   [MW]
Step [ 7] : Energizing Load No. {      14}
Step [ 8] : DPG(1)=12.4   DPG(2)=5.0    [MW]
Step [ 9] : Energizing Load No. {      13}
Step [10] : DPG(1)=10.2   DPG(2)=4.1    [MW]
Step [11] : Energizing Load No. {      10}
Step [12] : DPG(1)=7.1    DPG(2)=2.9    [MW]
Step [13] : Energizing Load No. {      12}
Step [14] : Energizing Line No. { 1-5 }
Step [15] : DPG(1)=1.8    DPG(2)=0.7    [MW]
Step [16] : Energizing Load No. {      6}
Step [17] : Energizing Line No. { 12-13 }
```

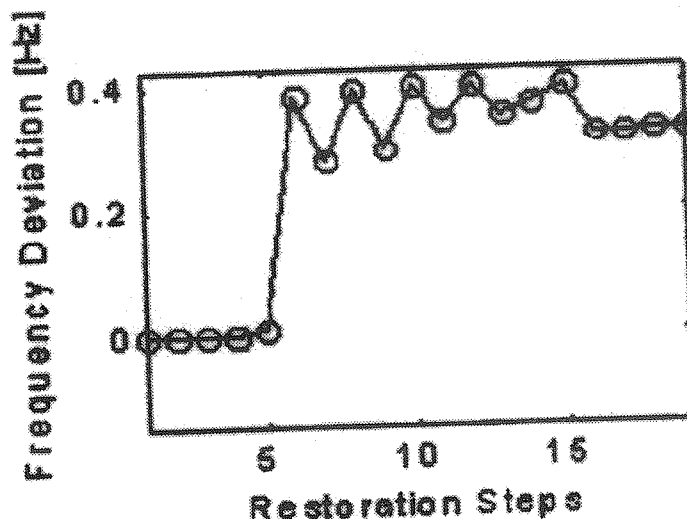




آداب و شکل (۱)



شکل (۲) دیاگرام تک خطی شبکه ۱۲ شینه IEEE.



شکل (۳) تغییرات فرکانس در خلال بازبینی از یک حالت ماندگار به حالت ماندگار بعدی (مربوط به مطالعه نمونه اول).

مراجع

- [1] M. Adibi, et. al, "Power System Restoration-A Task Force Report," IEEE Trans. on Power Systems, Vol. 2, No. 2, pp. 271-277, 1987.
- [2] M. Adibi and L. Fink, "Power System Restoration Planning," IEEE Trans. on Power Systems, Vol. 9, No. 1, pp. 22-28, 1994.
- [3] A Report by the Power System Restoration Working Group, C. Andrews, et. al, "Special Considerations in Power System Restoration," IEEE Trans. on Power Systems, Vol. 7, No. 4, pp. 1419-1427, 1992.
- [4] M. Adibi, J. Borkoski and R. Kafka, "Power System Restoration-The Second Task Force Report," IEEE Trans. on Power Systems, Vol. 2,

- No. 4, pp. 927-933, 1987.
- [5] M. Adibi and R. Kafka, "System Restoration Plan Development for a Metropolitan Electric System," IEEE Trans. on Power Apparatus and Systems, Vol. 100, No. 8, pp. 3703-3711, 1981.
- [6] A Report by the Power System Restoration Working Group, J. Giri, et. al, "New Approaches in Power System Restoration," IEEE Trans. on Power Systems, Vol. 7, No. 4 pp. 1428-1434, 1992.
- [7] A Report by the Power System Restoration Working Group, M. Adibi et. al, "Special Consideration in Power System Restoration - The Second Working Group Report," IEEE Trans. on Power Systems, Vol. 9, No. 1, PP. 15-21, 1994.
- [8] K. Matsumoto, et. al, "Knowledge-Based Systems as Operational Aids in Power System Restoration," Proceedings of the IEEE, Vol. 80, No. 5, pp. 689-696, 1992.
- [9] M. Adibi, R. Kafka and D. Milanicz, "Expert System Requirements for Power System Restoration," IEEE Trans. on Power Systems, Vol. 9, No. 3, pp. 1592-1600, 1994.
- [10] B. Delfino, M. Invernizzi and A. Morini, "Knowledge-Based Restoration Guidelines," IEEE Computer Applications in Power, Vol. 5, No. 3, pp. 54-59, 1992.
- [11] T. Dy Liacco, et. al, "A Hierarchical Interactive Approach to Electric Power System Restoration," IEEE Trans. on Power Systems, Vol. 7, No. 3, pp. 1123-1131, 1992.
- [12] M. Adibi, et. al, "Bulk Power System Restoration Training Techniques," IEEE Trans. on Power Systems, Vol. 8, No. 1, pp. 191-197, 1993.
- [13] M. Adibi, J. Borkoski and R. Kafka, "Analytical Tool Requirements for Power System Restoration," IEEE Trans. on Power Systems, Vol. 9, No. 3, pp. 1582-1591, 1994.
- [14] Y. Kojima, et. al, "Development of a Guidance Method for Power System Restoration," IEEE Trans. on Power Systems, Vol. 4, No. 3, pp. 1219-1227, 1989.
- [15] M. Adibi, R. Alexander and B. Avramovic, "Overvoltage Control During Restoration," IEEE Trans. on Power Systems, Vol. 7, No. 4, pp. 1464-1470.
- [16] G. Morin, "Service Restoration Following a Major Failure on the Hydro-Quebec Power System," IEEE Trans. on Power Delivery, Vol. 2, No. 2, pp. 454-462, 1987.
- [17] R. Kearsley, "Restoration in Sweden and Experience Gained from the Blackout of 1983," IEEE Trans. on Power Systems, Vol. 2, No. 2, pp. 422-428, 1987.
- [18] E. Welfonder, et. al, "Control Behavior of Part Power Systems During Restoration After Blackout," IFAC Control of Power Plants and Power Systems, pp. 425-431, 1992.
- [19] T. Cormen, C. Leiserson and R. Rivest, *Introduction to Algorithms*, The MIT Press, 1994.
- [20] V. Chachra, *Applications of Graph Theory Algorithms*, Elsevier North Holland, 1979.
- [21] M. Okamura, et. al, "A New Power Flow Model and Solution Method," IEEE Trans. on Power Apparatus and Systems, Vol. 94, No. 3, pp. 1042-1050, 1975.
- [22] K. Palaniswamy and J. Sharma, "Optimum Load Shedding Taking into Account of Voltage and Frequency Characteristics of Loads," IEEE Trans. on Power Apparatus and Systems, Vol. 104, No. 6, pp. 1342-1348, 1985.
- [23] IEEE Task Force on Load Representation for Dynamic Performance , System Dynamic Performance Subcommittee, Power System Eng. Committee, "Bibliography on Load Models for Power Flow and Dynamic Performance Simulation", IEEE Trans. on Power Systems, vol. 10, no. 1, pp. 523-538, 1995.
- [24] G. Stagg, *American Electric Power 14 Bus Test System*, American Electric Power Service Cor-